

GISCoR²²

Carlo Senore

SSD Epidemiologia e screening - CPO







Il sottoscritto Carlo Senore

ai sensi dell'art. 3.3 sul Conflitto di Interessi, pag. 17 del Reg. Applicativo dell'Accordo Stato-Regione del 5 novembre 2009,

dichiara

X che negli ultimi due anni NON ha avuto rapporti diretti di finanziamento con soggetti portatori di interessi commerciali in campo sanitario

| | che negli u | ıltimi due | anni ha | avuto r | rapporti | diretti | di finan | ziamento | con i | seguenti | soggetti |
|-----|---------------|-------------|---------|-----------|----------|---------|----------|----------|-------|----------|----------|
| poi | rtatori di in | teressi coi | mmercia | li in cai | mpo san | itario: | | | | | |

-

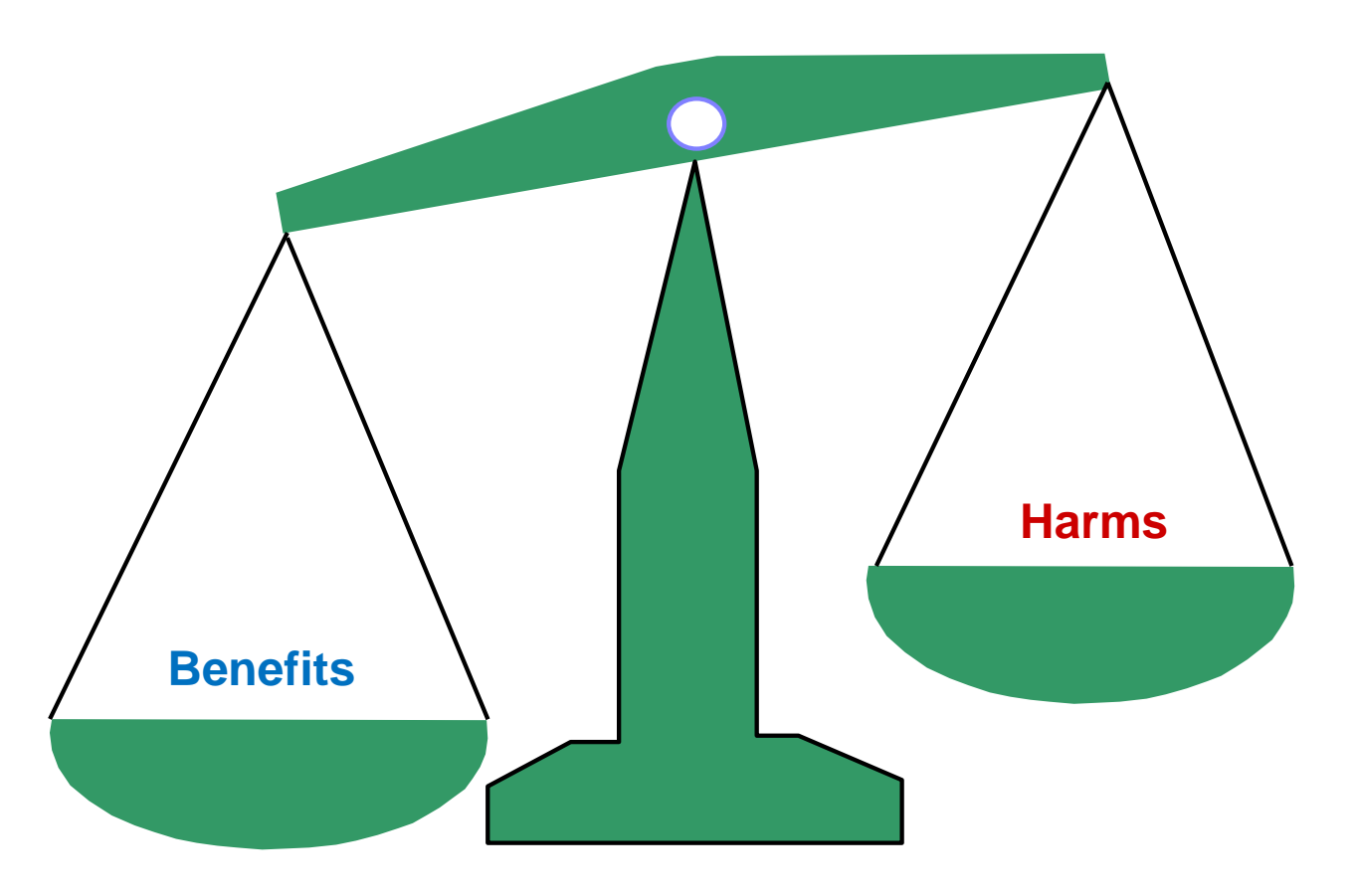
-

-



NAZIONALE 2022 Perchè stratificare per rischio?







Quali approcci?



Stima della probabilità di (sottogruppi di) individui di sviluppare la malattia sulla base di potenziali determinanti genetici (polimorfismi, familiarità) o acquisiti (esposizioni modificabili)

Definizione di livelli di rischio in base alle informazioni derivate dalla storia di screening

Combinazione dei due approcci





Fattori di rischio



Fattori di rischio



Fattori di rischio identificati che possono essere utilizzati per definire livelli di rischio

- Sesso
- Età
- Storia familiare
- Stile di vita (alcool, abitudini alimentari, attività fisica)
- Obesità
- Polimorfismi genetici



Fattori di rischio - sesso



| | Finland | | Sweder | า | Germa | Germany | |
|--|---------|-----|--------|-----|-------|---------|--|
| Programme characteristic | Women | Men | Women | Men | Men | Women | |
| Cut-off for positive Faecal Immunochemical Test | 25 | 70 | 40 | 80 | | | |
| Starting age for screening colonoscopy | | | | | 50 | 55 | |

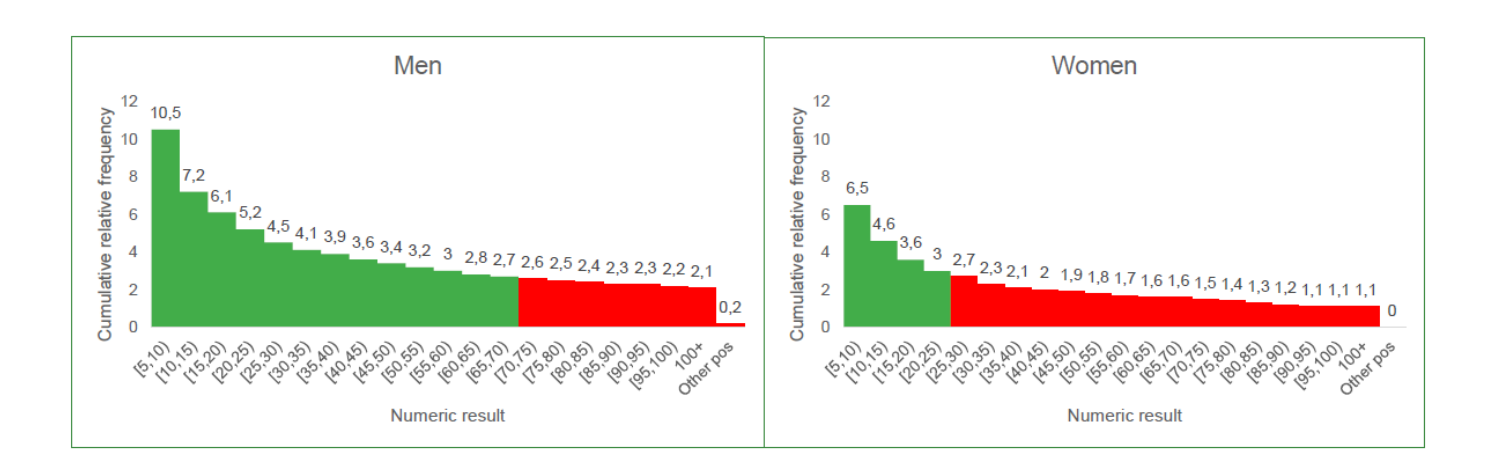


Fattori di rischio - sesso



✓ Gender-specific cutoffs for test positivity

- 25 ug/g for women
- 70 ug/g for men



Courtesy: Tytti Sarkeala Finnish Cancer Registry

XV CONGRESSO NAZIONALE 2022



Combining risk factors with faecal immunochemical test outcome for selecting CRC screenees for colonoscopy

Inge Stegeman,^{1,2} Thomas R de Wijkerslooth,³ Esther M Stoop,⁴ Monique E van Leerdam,⁴ Evelien Dekker,³ Marjolein van Ballegooijen,⁵ Ernst J Kuipers,^{4,6} Paul Fockens,³ Roderik A Kraaijenhagen,² Patrick M Bossuyt¹

Fattori di rischio associati al rischio di neoplasia avanzata

- Valore Hb FIT
- Età
- Assunzione di calcio
- Familiarità (numero di familiari con CCR)
- Abitudine al fumo

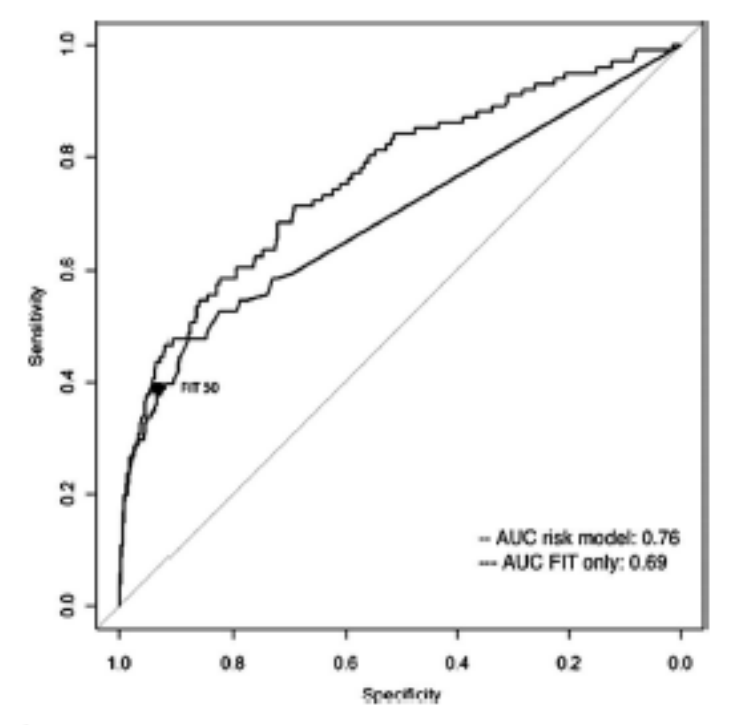


Figure 2 ROC curves



Polimorfismi genetici



Il numero di singoli polimorfismi associati al rischio di CCR è ormai superiore a 100 e, insieme, queste mutazioni spiegano circa l'11% dei casi di tumore eredo- familiare negli USA.

E' stato suggerito che, con l'individuazione di nuove varianti si potrebbe arrivare al 73%





Cost-Effectiveness of Risk-Stratified Colorectal Cancer Screening Based on Polygenic Risk: Current Status and Future Potential S. K. Naber et al. JNCI Cancer Spectrum, 2019, Vol. 4, No. 1

Screening stratificato sul rischio, a parità di benefici attesi, associato ad un aumento di costo pari a 59 \$ a persona

Potrebbe rappresentare un approccio costo-efficace se

- AUC > 0.65
- prezzo del test < 141 \$
- aumento del % della partecipazione.



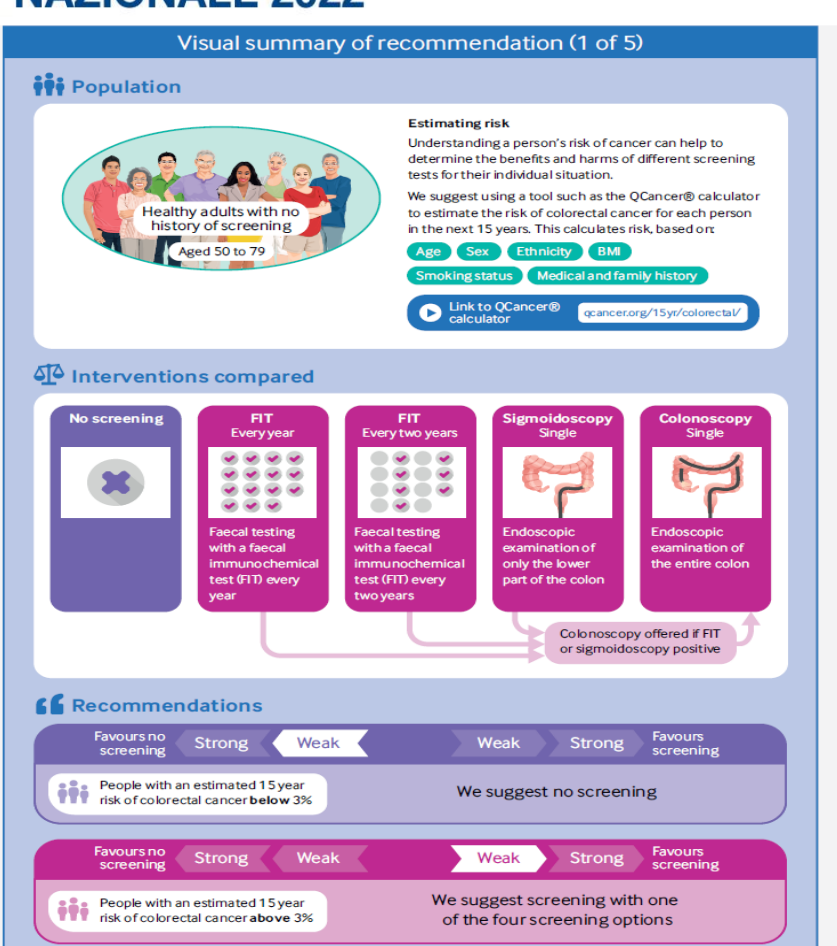




- 17 punteggi di rischio: i più comuni fattori di rischio considerati sono: età, sesso, storia di CRC nei parenti di I grado, BMI e abitudine al fumo.
- 23 modelli predittivi di rischio: aggiunta di fattori di rischio legati allo stile di vita ai modelli che includevano SNPs è associato ad un aumento dell'AUC (0.64-0.67 per le donne e 0.67-0.71 per gli uomini)



XV CONGRESSO NAZIONALE 2022





Colorectal cancer screening with faecal immunochemical testing, sigmoidoscopy or colonoscopy: a clinical practice guideline

Lise M Helsingen, ^{1 2 3} Per Olav Vandvik, ^{4 5} Henriette C Jodal, ^{1 2 3} Thomas Agoritsas, ^{6 7} Lyubov Lytvyn, ⁷ Joseph C Anderson, ^{8 9 10} Reto Auer, ^{11 12} Silje Bjerkelund Murphy, ¹³ Majid Abdulrahman Almadi, ^{14 15} Douglas A Corley, ^{16 17} Casey Quinlan, ^{18 19 20} Jonathan M Fuchs, ²¹ Annette McKinnon, ²² Amir Qaseem, ²³ Anja Fog Heen, ²⁴ Reed A C Siemieniuk, ⁷ Mette Kalager, ^{12 3} Juliet A Usher-Smith, ²⁵ Iris Lansdorp-Vogelaar, ²⁶ Michael Bretthauer, ^{1 2 3} Gordon Guyatt ⁷





Modelli predittivi - limiti

Utilizzare una soglia di rischio cumulativo del 3% a 15 anni per raccomandare lo screening ha come conseguenza una riduzione della quota di persone che vengono invitate a screening a 50 anni.

In particolare la maggioranza delle donne riceverebbe una (debole) raccomandazione contro lo screening prima dei 70 anni

Questo approccio implicitamente privilegia una riduzione della mortalità a breve termine rispetto a un impatto a lungo termine su incidenza, morbidità e mortalità

Spostare lo screening sui gruppi di età più anziani ne reduce il potenziale impatto preventivo







Questo approccio tende inoltre a sottostimare l'incertezza relativa alla storia naturale della malattia e l'impatto che questa può avere sule stime di costo efficacia

L'analisi pooled dei trial sulla sigmoidoscopia ha mostrato come l'effetto di quella strategia sia differenti per le donne screenate prima dei 60 anni rispetto a quelle screenate dopo i 60 anni





Modelli predittivi - limiti

Limitata capacità discriminativa dei modelli predittivi esistenti (incluso il QCancer risk calculator proposto nella rapid review del BMJ)

La misclassificazione del rischio può condurre a raccomandazioni inappropriate

Nella coorte della UK biobank, >60% delle donne che hanno sviluppato un cancro colorettale nei 5 annni successivi al reclutamento (evidentemente a rischio elevato) avrebbero ricevuto una raccomandazione (debole) contro lo screening, dato che il calcolatore di rischio forniva una stima del loro rischio a 15 anni <3%





Storia di screening





Livelli di emoglobina fecale

- ↑ Livelli di emoglobina fecale superiori al cut-off di positività
 - Criteri di priorità per la colonscopia

Livelli di emoglobina in soggetti con valori al di sotto del cut-off (esiti negativi) Personalizazione delle strategie sulla base dei risultati dei test precedenti

- Taiwan (Chen L-S, 2011): cohort study, baseline FIT only
- ➤ Netherlands (Grobbee EJ et al, 2017): cohort study, at least 1 nFIT
- ➤ Spain (Buron A, 2018): ongoing pop-based program; nFIT in 2 consecutive rounds and participating after third invitation or IC

ORIGINAL ARTICLE



Faecal haemoglobin concentration among subjects with negative FIT results is associated with the detection rate of neoplasia at subsequent rounds: a prospective study in the context of population based screening programmes in Italy

Carlo Senore, ¹ Marco Zappa, ² Cinzia Campari, ³ Sergio Crotta, ⁴ Paola Armaroli, ¹ Arrigo Arrigoni, ⁵ Paola Cassoni, ⁶ Rossana Colla, ⁷ Mario Fracchia, ⁸ Fabrizio Gili, ⁹ Grazia Grazzini, ¹⁰ Roberto Lolli, ¹¹ Patrizia Menozzi, ⁷ Lorenzo Orione, ¹² Salvatore Polizzi, ¹³ Stefano Rapi, ¹⁴ Emilia Riggi, ¹ Tiziana Rubeca, ¹⁰ Romano Sassatelli, ¹⁵ Carmen Visioli, ² Nereo Segnan ¹

Table 1 Association of cumulative f-Hb values over the initial two rounds and FIT PR, AN PPV, AA and CRC DR, NNScope to detect 1 AN at the third round - Men and women aged 50–69 years

| | | | FIT+ | | Colonoscopy | | | | DR advanced | | |
|------------------------------|--------------------|------|---------------------|------|---------------------|---------------------|-----|----------------------|-----------------------|----------------------|---------------------|
| Sum f-Hb µg/g FIT1 + FIT2 | Examined N (%)* | N | % (95% CI) | N | % (95% CI) | Advanced adenoma | CRC | PPV AN % (95% CI) | adenoma % (95% CI) | DR CRC % (95% CI) | NNScope (95% CI) |
| 0 | 80 579 (49.1) | 2074 | 2.6 (2.5 to 2.7) | 1793 | 86.5 (84.8 to 88.0) | 257 | 35 | 16.3 (16.0 to 16.5) | 0.3 (0.3 to 0.4) | 0.04 (0.03 to 0.06) | 6.1 (6.0 to 6.2) |
| 0.1-3.9 | 54352 (33.1) | 1895 | 3.5 (3.3 to 3.6) | 1621 | 85.5 (83.7 to 87.2) | 294 | 56 | 21.6 (21.2 to 21.9) | 0.5 (0.5 to 0.6) | 0.10 (0.08 to 0.13) | 4.6 (4.6 to 4.7) |
| 4–9.9 | 19715 (12.0) | 1247 | 6.3 (6.0 to 6.7) | 1098 | 88.1 (86.0 to 89.9) | 301 | 36 | 30.7 (30.0 to 31.3) | 1.5 (1.4 to 1.7) | 0.18 (0.13 to 0.25) | 3.3 (3.2 to 3.3) |
| 10-14.9 | 5336 (3.3) | 516 | 9.7 (8.9 to 10.5) | 464 | 89.9 (86.7 to 92.5) | 161 | 25 | 40.1 (38.8 to 41.4) | 3.0 (2.6 to 3.5) | 0.47 (0.31 to 0.70) | 2.5 (2.4 to 2.6) |
| 15–19.9 | 2912 (1.8) | 367 | 12.6 (11.4 to 13.9) | 315 | 85.8 (81.4 to 89.4) | 123 | 16 | 44.1 (42.3 to 46.0) | 4.2 (3.5 to 5.0) | 0.55 (0.33 to 0.90) | 2.3 (2.2 to 2.4) |
| ≥20 | 1129 (0.7) | 292 | 25.9 (23.4 to 28.5) | 261 | 89.4 (84.8 to 92.8) | 111 | 21 | 50.6 (47.6 to 53.5) | 9.8 (8.2 to 11.7) | 1.86 (1.18 to 2.86) | 2.0 (1.9 to 2.1) |
| Total | 164023 | 6391 | 3.9 (3.8 to 4.0) | 5552 | 86.9 (85.9 to 87.7) | 1247 | 189 | 25.9 (25.7 to 26.1) | 0.8 (0.7 to 0.8) | 0.12 (0.10 to 0.13) | 3.9 (3.8 to 3.9) |

^{*%} calculated over the total number of subjects examined.

AA, advanced adenoma; AN, advanced neoplasia; CRC, colorectal cancer; DR, detection rate; f-Hb, faecal haemoglobin; FIT, faecal immunochemical test; NNScope, number needed to scope; PPV, positive predictive value; PPV, positive predictive value; PR, positivity rate.

ORIGINAL ARTICLE

Faecal haemoglobin concentration among subjects with negative FIT results is associated with the detection rate of neoplasia at subsequent rounds: a prospective study in the context of population based screening programmes in Italy

Carlo Senore, ¹ Marco Zappa, ² Cinzia Campari, ³ Sergio Crotta, ⁴ Paola Armaroli, ¹ Arrigo Arrigoni, ⁵ Paola Cassoni, ⁶ Rossana Colla, ⁷ Mario Fracchia, ⁸ Fabrizio Gili, ⁹ Grazia Grazzini, ¹⁰ Roberto Lolli, ¹¹ Patrizia Menozzi, ⁷ Lorenzo Orione, ¹² Salvatore Polizzi, ¹³ Stefano Rapi, ¹⁴ Emilia Riggi, ¹ Tiziana Rubeca, ¹⁰ Romano Sassatelli, ¹⁵ Carmen Visioli, ² Nereo Segnan ¹



| Table 5 | Cumulative DR of an (advanced adenoma or CRC) by cumulative f-Hb concentration over two consecutive FITs and time since the second |
|---------|--|
| FIT | |

| HII | | | | | | |
|---------------------------|---------------------|-----------------------|---------------------|-----------------------|------------------------|------------------------|
| μg Hb /g faeces Months | 0 % (95% CI) | 0.1–3.9 % (95% CI) | 4–9.9 % (95% CI) | 10–14.9 % (95% CI) | 15–19.9 % (95% CI) | ≥20 % (95% CI) |
| 24 | 0.06 (0.05 to 0.08) | 0.11 (0.08 to 0.14) | 0.38 (0.30 to 0.48) | 0.59 (0.41 to 0.84) | 0.50 (0.30 to 0.84) | 1.30 (0.77 to 2.18) |
| 36 | 0.44 (0.39 to 0.49) | 0.78 (0.70 to 0.87) | 1.98 (1.78 to 2.21) | 4.24 (3.67 to 4.90) | 0.57 (0.48 to 0.67) | 14.33 (12.14 to 16.88) |
| 48 | 0.53 (0.48 to 0.59) | 0.90 (0.81 to 0.99) | 2.27 (2.04 to 2.52) | 4.71 (4.10 to 5.41) | 6.84 (5.84 to 8.00) | 16.08 (13.70 to 18.82) |
| 54 | 1.41 (1.27 to 1.57) | 1.90 (1.71 to 2.11) | 4.79 (4.30 to 5.34) | 8.65 (7.44 to 10.06) | 11.97 (10.13 to 14.13) | 25.46 (21.38 to 30.15) |



15-19.9

≥20

Total

290

122

10150

ORIGINAL ARTICLE Faecal haemoglobin concentration among subjects with negative FIT results is associated with the

Interval CRC

75.54 (24.36 to 234.21) 238.07 (89.35 to 634.31)

21.30 (15.50 to 29.27)

0.23

0.67

0.07

0.54

2.16

0.12

Grazia Grazzini, ¹⁰ Roberto Lolli, ¹¹ Patrizia Menozzi, ⁷ Lorenzo Orione, ¹² Salvatore Polizzi, ¹³ Stefano Rapi, ¹⁴ Emilia Riggi, ¹ Tiziana Rubeca, ¹⁰ Romano Sassatelli, ¹⁵

Senore C, et al. Gut 2019; 0:1-8. doi:10.1136/gutjnl-2018-3 Carmen Visioli, ² Nereo Segnan ¹ CRC DR at the third FIT* and IC risk during the 36 months following second negative FIT by cumulative f-Hb concentration over two concocutive EITs coroonees from three contros

| FIT1 + FIT2 | N | N N | | % N | | % | N | % | IR§ (95% CI) |
|-------------|------|------|-------|------|----|------|---|------|-----------------------|
| 0 | 4382 | 2990 | 29553 | 90.8 | 15 | 0.05 | 9 | 0.02 | 9.84 (5.12 to 18.99) |
| 0.1-3.9 | 2972 | 1584 | 14925 | 90.4 | 11 | 0.07 | 9 | 0.05 | 10 88 (4 53 to 26 15) |

| | | | | ,,, | | , • | | , • | 5 (51 |
|---------|------|------|-------|------|----|------|----|------|-------------|
|) | 4382 | 2990 | 29553 | 90.8 | 15 | 0.05 | 9 | 0.02 | 9.84 (5.12 |
|).1–3.9 | 2972 | 1584 | 14925 | 90.4 | 11 | 0.07 | 9 | 0.05 | 10.88 (4.53 |
| I_9 9 | 1825 | 932 | 9637 | 91.2 | 17 | 0.18 | 16 | 0.13 | 50 48 (29 9 |

1285

556

58478

| consecutive rits—screenees from three centres | | | | | | | |
|---|--------------|---------------|----------|---------|---------|------|--|
| Sum f-Hb μg/g | Not invited† | Non-attenders | Screened | Uptake‡ | SD CRCs | | |
| FIT1 + FIT2 | N | N | N | % | N | % | |
| 0 | 4382 | 2990 | 29553 | 90.8 | 15 | 0.05 | |

| 0.1-3.9 | 2972 | 1584 | 14925 | 90.4 | 11 | 0.07 | 9 | 0.05 | 10.88 (4.53 to 26.15) |
|---------|------|------|-------|------|----|------|----|------|-------------------------|
| 4–9.9 | 1825 | 932 | 9637 | 91.2 | 17 | 0.18 | 16 | 0.13 | 50.48 (29.90 to 85.23) |
| 10-14.9 | 559 | 284 | 2522 | 89.9 | 9 | 0.36 | 6 | 0.18 | 39.37 (12.70 to 122.08) |

90.0

89.5

90.7

| FIT1 + FIT2 | N | N | N | % | N | % | |
|-------------|------|------|-------|------|----|------|--|
| 0 | 4382 | 2990 | 29553 | 90.8 | 15 | 0.05 | |
| 0.1-3.9 | 2972 | 1584 | 14925 | 90.4 | 11 | 0.07 | |
| 4 0 0 | 4005 | 000 | 0.007 | 04.0 | 47 | 0.40 | |

| Julii 1-nu µg/g | Not iliviteur | Non-attenuers | Screeneu | ортаке+ | 30 | Ches |
|-----------------|---------------|---------------|----------|---------|----|------|
| FIT1 + FIT2 | N | N | N | % | N | % |
| 0 | 4382 | 2990 | 29553 | 90.8 | 15 | 0.05 |
| 0.1-3.9 | 2972 | 1584 | 14925 | 90.4 | 11 | 0.07 |

142

65

5997

| With hegative in results is associated with the |
|---|
| detection rate of neoplasia at subsequent rounds: a |
| prospective study in the context of population based |
| screening programmes in Italy |
| Carlo Senore, ¹ Marco Zappa, ² Cinzia Campari, ³ Sergio Crotta, ⁴ Paola Armaroli, ¹ Arrigo Arrigoni, ⁵ Paola Cassoni, ⁶ Rossana Colla, ⁷ Mario Fracchia, ⁸ Fabrizio Gili, ⁹ |



Predittività dei livelli di emoglobina fecale



Confronto internazionale

| | | Advanced Neoplasia | | | | | | |
|--|-------------|--------------------|---------------|-------|-------------|--|--|--|
| | | It | aly | Baro | celona | | | |
| | | OR | 95% CI | OR | 95% CI | | | |
| Cumulative f-Hb level at previous 2 FITs (FIT1+FIT2) | 0 | 1 | | 1 | | | | |
| | 0.1-3.9 | 1.81 | 1.55-2.12 | 3.09 | 2.35-4.07 | | | |
| | 4-9.9 | 4.58 | 3.91-5.36 | 8.60 | 6.40-11.54 | | | |
| | 10-14.9 | 9.32 | 7.73-11.23 | 17.15 | 12.39-23.72 | | | |
| | 15-19.9 | 12.42 | 10.43-15.76 | 20.19 | 14.28-28.53 | | | |
| | ≥ 20 | 32.52 | 26.19-40.39 | 44.94 | 30.25-66.77 | | | |
| Combinations of categories of previous 2 FITs | ND - ND | 1 | | 1 | | | | |
| | ND - Low | 4.90 | 4.15 – 5.80 | 4.13 | 3.19-5.35 | | | |
| | ND - High | 8.51 | 7.00 – 10.35 | 7.26 | 5.48-9.63 | | | |
| | Low - ND | 2.70 | 2.26 – 3.24 | 4.15 | 3.09-5.57 | | | |
| | Low - Low | 10.70 | 8.16 -14.03 | 10.93 | 6.99-17.06 | | | |
| | Low - High | 17.18 | 12.71 - 23.22 | 19.29 | 11.94-31.18 | | | |
| | High - ND | 5.66 | 4.55 – 7.03 | 7.04 | 5.06-9.78 | | | |
| | High - Low | 18.63 | 13.64 – 25.44 | 18.42 | 10.99-30.88 | | | |
| | High - High | 30.59 | 22.50 – 41.58 | 23.22 | 13.29-40.60 | | | |



Pattern di adesione



Le persone regolarmente screenate, con test negativi precedenti, sono a minor rischio di neoplasia avanzata rispetto alle persone non aderenti/aderenti saltuari.

| Piedmont | | 4° ROUND | | | | | | | | | | | | | |
|---------------------------------|-----|----------|------|----------|------|------|-----|------|------|-----|-----|---------|------|-----|------|
| | | Invited | | Screened | | FIT+ | | тс | | AN | | FIT + A | | AN | |
| History of previous 3 rounds | | N | % | N | % | N | PR | N | % | N | DR | PPV | PR | DR | PPV |
| Never responded | 000 | 51302 | 44.8 | 4038 | 7.9 | 414 | | 316 | 76.3 | 126 | | | 10.3 | 3.1 | 39.9 |
| Responded to at least 1 | 100 | 3752 | 3.3 | 910 | 24.3 | 78 | 8.6 | 55 | 70.5 | 13 | 1.4 | 23.6 | 8.1 | 1.9 | 32.8 |
| | 010 | 3064 | 2.7 | 1168 | 38.1 | 101 | 8.6 | 72 | 71.3 | 24 | 2.1 | 33.3 | | | |
| | 001 | 5222 | 4.6 | 3174 | 60.8 | 248 | 7.8 | 175 | 70.6 | 62 | 2.0 | 35.4 | | | |
| Responded to at least 2 | 110 | 3286 | 2.9 | 1615 | 49.1 | 112 | 6.9 | 79 | 70.5 | 16 | 1.0 | 20.3 | 6.1 | 1.3 | |
| | 101 | 2575 | 2.2 | 1756 | 68.2 | 115 | 6.5 | 78 | 67.8 | 23 | 1.3 | 29.5 | | | 26.9 |
| | 011 | 8424 | 7.4 | 7190 | 85.4 | 421 | 5.9 | 345 | 81.9 | 96 | 1.3 | 27.8 | | | |
| Always responded | 111 | 36915 | 32.2 | 32841 | 89.0 | 1624 | | 1278 | 78.7 | 281 | | | 4.9 | 0.9 | 22.0 |
| Total | | 114540 | | 52692 | 46.0 | 3113 | | 2398 | 77.0 | 641 | | | 5.9 | 1.2 | 26.7 |





Un approccio promettente non applicato

- Complessità nell'applicazione
- Accuratezza limitata dei modelli disponibli
- potenziali problemi in relazione a
 Partecipazione, decisione informata, stigma e discriminazione



Partecipazione allo screening



Procedure attivate per la determinazione del rischio

- impatto organizzativo
- barriere per persone con basso livello di istruzione

La rispondenza all'invito tende ad essere più elevata in gruppi di individui ad alto rischio, anche quando vengono proposti esami invasivi

Individui a basso rischio potrebbero avere una risposta più bassa ai successivi inviti, o potrebbero invece non accettare l'offerta di un intervallo più esteso, effettuando il test comunque al di fuori del programma





Impatto organizzativo

Acquisizione informazioni aggiuntive (questionari ad hoc, dati da cartelle cliniche ambulatoriali, ecc.)

Ridefinizione delle procedure di invito (inteventi su IT)

Acquisizione, stoccaggio e analisi di campioni biologici





Comunicazione del rischio e scelta informata

Comunicazione chiara, comprensibile, delle stime di rischio evitando sovraccarico informativo

Considerare i bisogni e preferenze dei soggetti per evitare il rischio di

- falsa rassicurazione
- indurre ansia-stress



Stigma - discriminazione



Potenziale rischio di stigmatizzazione dei soggetti quando venga utilizzata informazione rleativa al profilo di rischio individuale, in aggiunta alla sofferenza psicologica indotta dal fatto di essere etichettati come potenziali malati

Cancro visto come malattia causata da cattive abitudini di vita
I soggetti nei gruppi ad alto rischio avrebbero una responsabilità per la
condizione in cui si trovano

A rischio il principio di solidarietà che è alla base dei sistemi sanitari universalistici



Stigma - discriminazione



Potenziale rischio di discriminazione in relazione alla stipula di polizze di assicurazione sanitaria, impiego, relazioni sociali

Misure legislative necessarie, ma non necessariamente sufficienti a prevenire possibli discriminazioni

Integrazione con prevenzione primaria



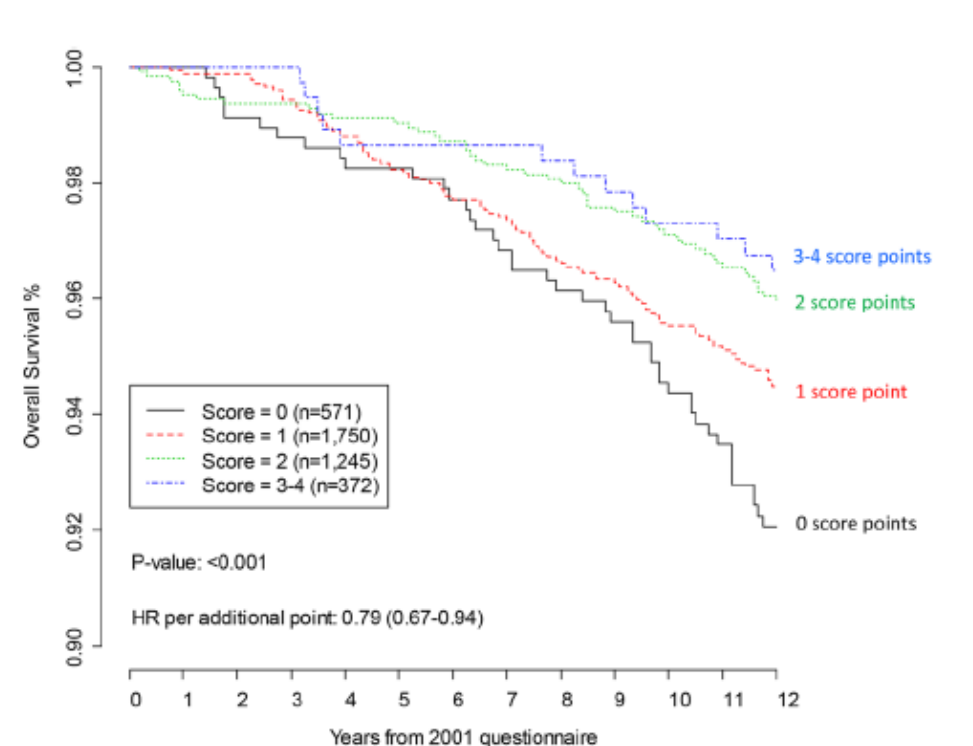
La raccolta di informazioni relative allo stile di vita offre l'opportunità di proporre interventi di prevenzione primaria nell'ambito dello screening, potenziandone l'effetto

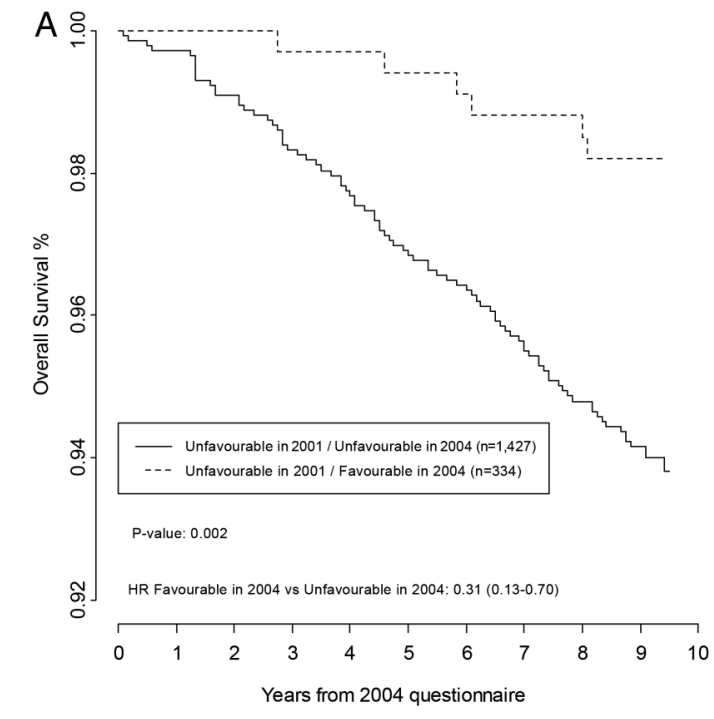




Integrazione con prevenzione primaria

Una modifica dello stile di vita all'età di 50-60 anni è associata a una riduzione del rischio di morte prematura





Berstad et al. J Epidemiol Community Health. 2017



Conclusioni



Lo screening basato sul rischio rappresenta un approccio che introduce ulteriori elementi di complessità

Utilizzare l'informazione presente negli archivi correnti, come età, sesso e storia di screening permette da subito di attivare protocolli modulati sul rischio

Organizzare progetti pilota, utilizzando inzialmente i dati disponibli, ma iniziando a predisporre una infrastruttura solida per introdurre ulteriori aggiustamenti





Conclusioni

Un approccio allo screening basato sul rischio rappresenta un primo passaggio di un percorso di integrazione che include anche la prevenzione primaria

Coinvolgimento della popolazione bersaglio nel disegno e nella progettazione del percorso pilota e nella definizione delle modalitàdi comunicazione





Grazie per l'attenzione

www.giscor.it



